

水質の変化とその予報に関する研究(3) 貯水池の水温変化予知への拡散モデルの適用と相似則

京都大学工学部 正会員 合田 健
京都大学工学部 学生員 海老澤一

1. 緒言

水系の水質変化を予知しようとする場合、その水系中に貯水池が存在するか否かによって、おのずからその取り扱いかたも異なってくる。貯水池が水系中に存在する場合は、貯水池内およびその下流において、水理・水質因子はともにその影響を受ける。それゆえ、水利用上重要でありながら、その動的特性のよくわかつていない貯水池をどうえ、成層流(密度流)と水質、とくに水温、との関係に注目し、貯水池内の流動に伴う水質変化予知へのアプローチとして、水温変化に拡散モデルを適用した場合について論じてみる。

2. 成層流(密度流)

貯水池内における成層流(密度流)の原因には、貯留水と流入水との間の水温差の他に、両者にそれぞれ含まれる濁質や溶質の濃度差が考えられる。これら3つの要因は単独で、あるいは、種々の組み合せによって貯留水と流入水との間に密度差を生じ、流入水は貯留水の等密度層にoverflow・underflowとして流入し、貯留水はこれに応じた流動を起こす。これらの流動状態によって混合・拡散の程度や滞留時間が異なり、貯水池内の水温・濁度・DO濃度・細菌数などの水質因子に変化がもたらされる。したがって、この関係を知ることが貯水池内および下流への水質コントロールにもつながることになる。

上記の成層流(密度流)の3原因のうち、濁質によるものは洪水後など一時的なものであり、濁度の0度と150度の差が密度に及ぼす影響は、15度付近での1°Cの水温差にしか相当しない。一方濁質による密度変化は、下木や工場排水などの混入による特殊なものであるが、その密度変化への貢献度はわが国の人工貯水池のはばい一般に小さい。要するに密度差の原因是、水温差によるものが主体で、他の2因はふつう、これに若干の変化を与える程度と考えられる。

3. 溫度密度流

水温差による密度流は温度密度流と呼ばれ、工場や火力・原子力発電所冷却水の熱排水などの特殊な場合を除くと、夏季に貯留水が温度成層した場合がほとんどである。この場合の流動状態と水質との関係は密接で、流入水温や取水(放流)位置や水表面上からの熱供給量などが支配的因素として作用する。

4. 水温について

多くの水質因子のうちで水温は、他の物理的、化学的および生物学的因素に影響を及ぼす重要な因子である。すなわち、水温は密度や粘性などの物理量を直接左右するのみならず、各種化学反応の反応速度や各種化学成分の溶解度に影響し、生物のせい息や生育などにも影響を与える。それゆえ、貯水池内の水温分布は、貯水池内およびその下流の各種化学成分や生物の分布に直接的に関係することになり、他の各種水質分布に対して支配的な位置を占めている。

5. 拡散モデルの適用

貯留水が成層した場合は、流速や密度などの水理量や各種木質量を、解析上、全層にわたって同一の力学モデルが使えたとしても、その実験的解析が困難であるため、貯留木成層分布の支配的因素である木温の鉛直分布の季節的パターンから、まず次の3つの場合に分けてアプローチを試みる。

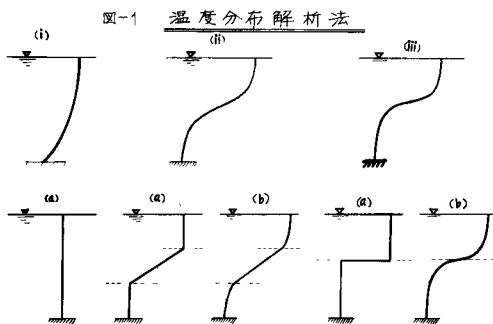
(i) 温度躍層のない場合

(ii) 表水層・変水層(躍層部)・深水層の3層に分けられる場合

(iii) 表水層・深水層の2層と見なせる場合(躍層が強力で変水層(躍層部)厚が薄い場合)

上記の(i), (ii), (iii)の場合をそれぞれ1層、

3層、2層と考えて、このモデルの各層に2次元定常熱拡散方程式、 $\frac{\partial^2 \theta}{\partial z^2} + \frac{\partial^2 \theta}{\partial x^2} = K_x \frac{\partial^2 \theta}{\partial z^2} + K_z \frac{\partial^2 \theta}{\partial x^2}$ 、を適用して水温変化の現象が説明できるものと考える。これらの解析のためのモデルを図示すると図-1のようになる。(i), (ii), (iii)の(a)の場合は、流下方向の1次元的挙動のみしか取り扱わないような最も単純化された場合を示したものである。



6. 差分式近似による計算

一般に、前述の2次元定常熱拡散方程式の理論解を得ることは、流速や拡散係数、初期条件や拡散条件から考えて困難である。それゆえ、実用的には上記の拡散方程式を次のように、

$$u(x, z) \frac{\partial(\theta(x, z) - \theta(x, 0))}{\partial z} + w(x, z) \frac{\partial(\theta(x, z) - \theta(x, 0))}{\partial x} = K_x \frac{\partial^2 \theta(x, z)}{\partial z^2} + K_z \frac{\partial^2 \theta(x, z)}{\partial x^2}$$

差分式近似し、逐次計算するのが便利である。また、境界条件として、水表面と地底面では、

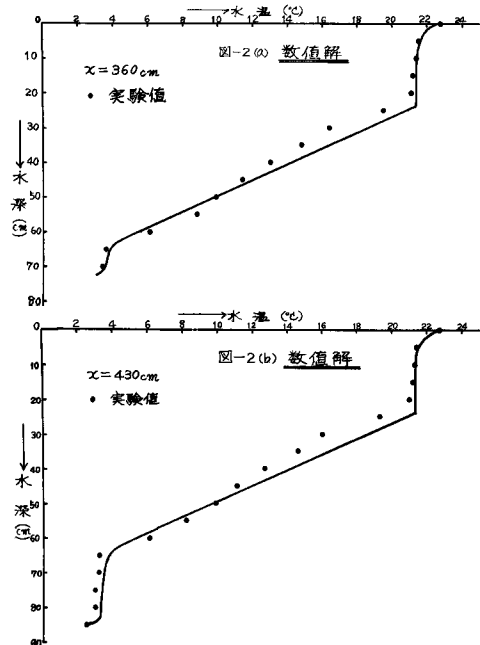
(1)一定熱量 q の流入出のある場合; $\frac{\partial \theta}{\partial z} = \frac{q}{\rho c p K_z}$

(2)線形熱伝達のある場合; $-\frac{\partial \theta}{\partial z} = \frac{h}{\rho c p K_z} (\theta_0 - \theta)$

(3)断熱の場合; (1)において $q=0$ とおけばよい。

2層や3層などの場合は、表水層の下端や深水層の上端での境界条件を、躍層面の定義を考慮して、 $\frac{\partial \theta}{\partial z}=0$ とする。これらの境界条件もそれぞれ差分式で表示し、各層内に格子点網を組んで差分計算を行なえば、順次各点での水温が求まるはずである。

この計算結果の例として、後述の模型実験の場合に適用したものと図-2に示す。この場合、実験結果の流速の鉛直分布において変水層の部分が直線的であるので、変水層の部分については水温の直線分布を仮定し、表水層と深水層について計算したものである。



このような差分式近似による数値解は、もとの拡散方程式の理論解が簡単に得られない場合、すなわち、(1)流速や拡散係数が一定として扱えない場合、(2)貯水池の幅や深さなど地形が複雑な場合、(3)境界条件が複雑になる場合、のようなときに実用上便利である。しかし、層の分割の際の位置や、流速や拡散係数の変化を予想することなど困難な問題がある。

7. 理論解

前述の2次元定常熱拡散方程式、 $\frac{\partial \theta}{\partial z} + \omega \frac{\partial \theta}{\partial x} = k_x \frac{\partial^2 \theta}{\partial z^2} + k_z \frac{\partial^2 \theta}{\partial x^2}$ 、において、鉛直方向の移流項の $k_z \frac{\partial \theta}{\partial z}$ に対するマグニチュードが小さく、また、水平方向の拡散項 $k_x \frac{\partial^2 \theta}{\partial x^2}$ が水平方向の移送項 $\omega \frac{\partial \theta}{\partial x}$ に比べて小さく無視できるよう簡単な場合は、流速 ω と拡散係数 k_x を一定と見なして理論解を得ることができる。すなわち、拡散方程式 $\frac{\partial \theta}{\partial z} = k_x \frac{\partial^2 \theta}{\partial z^2}$ の理論解は一般に、前述のような種々の境界条件と、初期条件として、流入端で温度の放物線分布 $\theta = a + bz + cz^2$ や指指数分布 $\theta = \theta_0 e^{-z/H}$ などを与えてやれば、表水層、変水層、および地底勾配の無視できる深水層に対してそれぞれ容易に得られる。¹⁾深水層で底面勾配が無視できない場合は、底面の位置が $z = \alpha x + \beta$ のように水平方向の距離 x の関数となって、取り扱いがたまに複雑となるので別の考え方が必要である。

(i) 距離層が存在しない場合

- i) 木表面($z=0$)で、 $-\frac{\partial \theta}{\partial z} = \frac{q_1}{p c k_x} (-G_1 = \text{const})$ 、底面($z=H$)で、 $-\frac{\partial \theta}{\partial z} = \frac{q_2}{p c k_x} (-G_2 = \text{const})$
(流入端($x=0$)で、 $\theta = a + bz + cz^2$ のとき、

$\theta = \theta + a$ 、 $\frac{k_x}{D} = D (= \text{const})$ とおくと、 $\frac{\partial \theta}{\partial z} = D \frac{\partial^2 \theta}{\partial z^2}$ は $\frac{\partial \theta}{\partial z} = D \frac{\partial^2 \theta}{\partial z^2}$ となり、条件式は、
 $\{x=0$ で、 $\theta = bz + cz^2$ ； $z=0$ で、 $\frac{\partial \theta}{\partial z} = G_1$ ； $z=H$ で、 $\frac{\partial \theta}{\partial z} = G_2\}$ となる。

これを $x \geq 0$ の場合についてラプラス変換で解くと、

$$\theta = a + bz + cz^2 + 2DCX + 2(G_1 - b)\sqrt{DX} \sum_{n=0}^{\infty} \left\{ i \operatorname{erfc} \frac{2(n+1)H-z}{2\sqrt{DX}} - i \operatorname{erfc} \frac{2nH+z}{2\sqrt{DX}} \right\} \\ + 2(G_2 - b - 2CH)\sqrt{DX} \sum_{n=0}^{\infty} \left\{ i \operatorname{erfc} \frac{2(n+1)H-z}{2\sqrt{DX}} + i \operatorname{erfc} \frac{(2n+1)H+z}{2\sqrt{DX}} \right\} \quad (7-1)$$

底面($z=H$)で断熱条件の場合は、 $q_2=0$ 、すなわち、 $G_2=0$ とおけばよい。また、初期条件が流入端($x=0$)で、一様分布や線形分布の場合はそれだけ $b=c=0$ 、 $c=0$ とおけばよい。

- ii) 木表面($z=0$)で、 $-\frac{\partial \theta}{\partial z} = \frac{q_1}{p c k_x} (-G_1 = \text{const})$ 、底面($z=H$)で、 $-\frac{\partial \theta}{\partial z} = h_2(\theta - \theta_e)$
(流入端($x=0$)で、 $\theta = a + bz + cz^2$ のとき、(ただし、 θ_e は地底温である。)
(i)と同様の置換を行ない、 $\frac{\partial \theta}{\partial z} = D \frac{\partial^2 \theta}{\partial z^2}$ の解を、次のようになった条件式

$$\{x=0\text{で}, \theta = bz + cz^2; z=0\text{で}, \frac{\partial \theta}{\partial z} = G_1; z=H\text{で}, \frac{\partial \theta}{\partial z} + h_2(\theta + a - \theta_e) = 0\}$$

のもとで、同様にラプラス変換で解くと、

$$\theta = (b - G_2) \cdot h_2 \cdot \left\{ \frac{2}{k_x} \left(\frac{Dx}{\pi} \right)^{\frac{1}{2}} e^{-\frac{z^2}{4Dx}} - \frac{1 + h_2 z}{h_2^2} \operatorname{erfc} \frac{z}{2\sqrt{Dx}} + \frac{1}{h_2^2} e^{z^2 + DXh_2^2} \operatorname{erfc} \frac{z}{2\sqrt{Dx}} + h_2 \sqrt{DX} \right\} - \frac{2}{h_2} \left(\frac{Dx}{\pi} \right)^{\frac{1}{2}} e^{-\frac{2(H-z)^2}{4Dx}} \\ + \frac{1 + h_2(2H-z)}{h_2^2} \operatorname{erfc} \frac{2H-z}{2\sqrt{Dx}} + \frac{1}{h_2^2} e^{z^2 + (2H-z)^2 + DXh_2^2} \operatorname{erfc} \frac{(2H-z)}{2\sqrt{Dx}} + h_2 \sqrt{DX} + \frac{1}{h_2} \operatorname{erfc} \frac{z}{2\sqrt{Dx}} - \frac{1}{h_2} e^{z^2 + DXh_2^2} \operatorname{erfc} \frac{z}{2\sqrt{Dx}} + h_2 \sqrt{DX} \\ + \frac{1}{h_2} \operatorname{erfc} \frac{2H-z}{2\sqrt{Dx}} - \frac{1}{h_2} e^{z^2 + (2H-z)^2 + DXh_2^2} \operatorname{erfc} \frac{(2H-z)}{2\sqrt{Dx}} + h_2 \sqrt{DX} + \{b + 2CH + h_2(b + CH) + h_2(a - \theta_e)\} \left(\frac{1}{h_2} \operatorname{erfc} \frac{H+z}{2\sqrt{Dx}} \right. \\ \left. - \frac{1}{h_2} e^{z^2 + (H+z)^2 + DXh_2^2} \operatorname{erfc} \frac{(H+z)}{2\sqrt{Dx}} + h_2 \sqrt{DX} \right) + \frac{1}{h_2} \operatorname{erfc} \frac{H-z}{2\sqrt{Dx}} - \frac{1}{h_2} e^{z^2 + (H-z)^2 + DXh_2^2} \operatorname{erfc} \frac{(H-z)}{2\sqrt{Dx}} + h_2 \sqrt{DX} \\ + \frac{2h_2 c}{D} \left[\frac{D}{(h_2)^2} e^{z^2 + DXh_2^2} \operatorname{erfc} \frac{(H+z)}{2\sqrt{Dx}} + h_2 \sqrt{DX} \right] - \frac{D}{(h_2)^2} \sum_{n=0}^{\infty} [-2h_2 \sqrt{DX}]^n \operatorname{erfc} \frac{H+z}{2\sqrt{Dx}} + \frac{D}{(h_2)^2} \sum_{n=0}^{\infty} [-2h_2 \sqrt{DX}]^n e^{z^2 + DXh_2^2} \operatorname{erfc} \frac{(H-z)}{2\sqrt{Dx}} + h_2 \sqrt{DX} \\ - \frac{D}{(h_2)^2} \sum_{n=0}^{\infty} [-2h_2 \sqrt{DX}]^n \operatorname{erfc} \frac{H-z}{2\sqrt{Dx}} \right] + \dots \quad (7-2)$$

初期条件の流入端($x=0$)での一様分布や線形分布の場合は、(i)と同様のことと言える。

(iii) 水表面 ($z=0$) で, $-\frac{\partial \theta}{\partial z} = h_1(\theta_a - \theta)$, 池底面 ($z=H$) で, $-\frac{\partial \theta}{\partial z} = \frac{g_2}{\rho c K_z} (-G_2 = \text{const})$
流入端 ($x=0$) で, $\theta = a + b z + c z^2$ のとき, (ただし, θ_a は大気温である。)

(i), (ii) と同様の置換および変換を行なって, $\frac{\partial \theta}{\partial z} = D \frac{\partial^2 \theta}{\partial z^2}$ の解を求める。

$$\begin{aligned} \theta &= a + b z + c z^2 + 2 D C x - h_1(b - G_1) \left[\frac{2}{k_1} \left(\frac{Dx}{\pi} \right)^{\frac{1}{2}} e^{-\frac{(H-z)^2}{4Dx}} - \frac{1 - h_1(H-z)}{(k_1)^2} \operatorname{erfc} \frac{H-z}{2\sqrt{Dx}} + \frac{1}{(k_1)^2} e^{h_1(H-z)+Dx-k_1^2} \operatorname{erfc} \frac{(H-z)}{2\sqrt{Dx}} \right. \\ &\quad \left. - \frac{2}{k_1} \left(\frac{Dx}{\pi} \right)^{\frac{1}{2}} \frac{-(H+z)}{4Dx} - \frac{1 - h_1(H+z)}{(k_1)^2} \operatorname{erfc} \frac{H+z}{2\sqrt{Dx}} + \frac{1}{(k_1)^2} e^{h_1(H+z)+Dx-k_1^2} \operatorname{erfc} \frac{(H+z)}{2\sqrt{Dx}} \right] - (b - G_1) \left[\frac{1}{k_1} \operatorname{erfc} \frac{H+z}{2\sqrt{Dx}} \right. \\ &\quad \left. - \frac{1}{k_1} e^{h_1(H+z)+Dx-k_1^2} \operatorname{erfc} \frac{(H+z)}{2\sqrt{Dx}} \right] - \frac{1}{k_1} \operatorname{erfc} \frac{H+z}{2\sqrt{Dx}} + \frac{1}{k_1} e^{h_1(H+z)+Dx-k_1^2} \operatorname{erfc} \frac{(H+z)}{2\sqrt{Dx}} \right] \\ &\quad + \{b - h_1(\theta_a - a)\} \left[\frac{1}{k_1} \operatorname{erfc} \frac{z}{2\sqrt{Dx}} - \frac{1}{k_1} e^{h_1 z+Dx-k_1^2} \operatorname{erfc} \frac{(z)}{2\sqrt{Dx}} + \frac{1}{k_1} \operatorname{erfc} \frac{2H-z}{2\sqrt{Dx}} - \frac{1}{k_1} e^{h_1(2H-z)+Dx-k_1^2} \operatorname{erfc} \frac{(2H-z)}{2\sqrt{Dx}} \right. \\ &\quad \left. + \frac{-2h_1C}{D} \left[\frac{D}{(k_1)^2} e^{h_1 z+Dx-k_1^2} \operatorname{erfc} \frac{(z)}{2\sqrt{Dx}} \right] - \frac{D}{(k_1)^2} \sum_{n=0}^{\infty} (-2(-k_1) \sqrt{Dx})^n \operatorname{erfc} \frac{z}{2\sqrt{Dx}} + \frac{D}{(k_1)^2} e^{h_1(2H-z)+Dx-k_1^2} \operatorname{erfc} \frac{(2H-z)}{2\sqrt{Dx}} \right] \\ &\quad \left. - \frac{D}{(k_1)^2} (-2(-k_1) \sqrt{Dx})^n \operatorname{erfc} \frac{2H-z}{2\sqrt{Dx}} \right] + \dots \end{aligned} \quad (7-3)$$

(iv) 水表面 ($z=0$) で, $-\frac{\partial \theta}{\partial z} = h_1(\theta_a - \theta)$, 池底面 ($z=H$) で, $-\frac{\partial \theta}{\partial z} = h_2(\theta - \theta_e)$

流入端 ($x=0$) で, $\theta = a + b z + c z^2$ のとき,

この場合, $\frac{\partial \theta}{\partial z} = D \frac{\partial^2 \theta}{\partial z^2}$ の解は h_1 と h_2 の値が同程度の大きさのときは容易に得られない。ただ特別な場合として, $h_2=0$ のときは池底面 ($z=H$) で断熱の条件となり, (iii) の場合において, $g_2=0$, すなわち, $G_2=0$ とおいた場合になる。

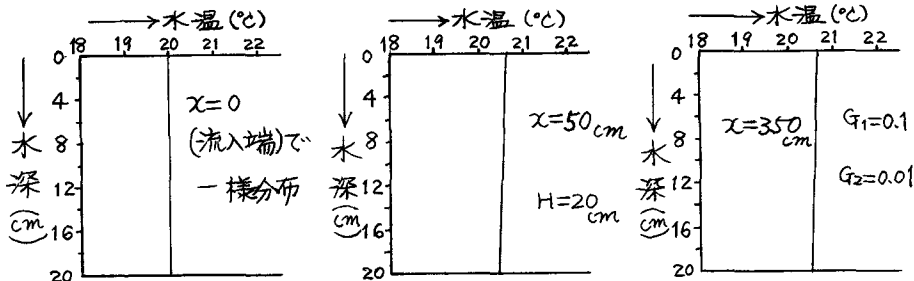


図-3 式(7-1)において $b=c=0$ の場合

参考文献

- Carroll, H.S., Jaeger, J.C. "Conduction of Heat in Solid" 2nd. Oxford 1959
- 山口栄樹 「河口湖における拡散現象の総合報告 その1, その2, その3」 工業用水 no.113, 114, 115 1968
- Garrison, J.M., Elder, R.A. "A Verified Rational Approach to the Prediction of Open Channel Water Temperature" IAH-R. 1966.
- 松原 光 「貯水池取水口付近の躍層の上昇について」 水温の研究 vol.3, no.3, 1959
- 足立昭平 「移動河床水理の相似律」 日本学術会議 流体模型相似律セミナー 1966
- 林 泰三 「非定常水理の相似律」 日本学術会議 流体模型相似律セミナー 1966
- 井上頼輝, 横口明生 「航空写真と模型実験による某河川汚染の予知実験」 第4回衛生工学研究討論会 1967
- 金子安雄 「流路の水深が変化する場合の塩水楔の機構」 港湾技術研究所報告 vol.4, no.6, 1965
- 山本莊蔵編 「陸水」 (地球科学講座) 芬立出版 1968

(2) 3層状態の場合

お互いの層が $\frac{\partial \theta}{\partial z} = 0$ の条件で境界を接している3層の場合、表木層・変水層・深水層の各層でそれぞれ熱拡散方程式、 $\frac{\partial \theta}{\partial z} = D \frac{\partial^2 \theta}{\partial z^2}$ を立てて解く。ただし、 $D = k_1 (= \text{const})$ である。

(a) 表木層

(i) 表水面 ($z=0$) で、 $-\frac{\partial \theta}{\partial z} = \frac{g_1}{\rho c k_1} (-G_1 = \text{const})$ 、上部躍層面 ($z=H$) で、 $\frac{\partial \theta}{\partial z} = 0$
流入端 ($x=0$) で、 $\theta = a + b z + c z^2$ のとき、

$\theta = \theta + \lambda$ とおき、(i) と同様にラプラス変換で $\frac{\partial \theta}{\partial z} = D \frac{\partial^2 \theta}{\partial z^2}$ の解を求める

$$\theta = a + b z + c z^2 + 2DCx - 2DC \sum_{n=0}^{\infty} (-1)^n \left[(x + \frac{(2n+1)H-z}{2D}) \operatorname{erfc} \frac{(2n+1)H-z}{2\sqrt{Dx}} - (2n+1)H-z \right] \left(\frac{x}{\pi D} \right)^{\frac{1}{2}} e^{-\frac{(2n+1)H-z}{4Dx}}$$

$$+ \left(x + \frac{(2n+1)H-z}{2D} \right) \operatorname{erfc} \frac{(2n+1)H-z}{2\sqrt{Dx}} - (2n+1)H-z \left(\frac{x}{\pi D} \right)^{\frac{1}{2}} e^{-\frac{(2n+1)H-z}{4Dx}} \right] + 2(b-G_1) \sum_{n=0}^{\infty} (-1)^n \left\{ \operatorname{erfc} \frac{2nH+z}{2\sqrt{Dx}} - \operatorname{erfc} \frac{2nH+z}{2\sqrt{Dx}} \right\} \quad (7-4)$$

(ii) 表水面 ($z=0$) で、 $-\frac{\partial \theta}{\partial z} = h_1(\theta_a - \theta)$ 、上部躍層面 ($z=H$) で、 $\frac{\partial \theta}{\partial z} = 0$

流入端 ($x=0$) で、 $\theta = a + b z + c z^2$ のとき、

$\frac{\partial \theta}{\partial z} = D \frac{\partial^2 \theta}{\partial z^2}$ の解は、同様に、

$$\theta = a + b z + c z^2 + 2DCx - \frac{2h_1}{D} \left[\left(\frac{D}{(-k_1)^2} e^{h_1(H-z)} + Dx(-k_1)^2 \operatorname{erfc} \frac{H-z}{2\sqrt{Dx}} - h_1 \sqrt{Dx} \right) \operatorname{erfc} \frac{H-z}{2\sqrt{Dx}} \right. \\ - \frac{D}{(-k_1)^2} e^{h_1(H-z)} + Dx(-k_1)^2 \operatorname{erfc} \frac{H-z}{2\sqrt{Dx}} - h_1 \sqrt{Dx} \left. + \frac{D}{(-k_1)^2} \sum_{n=0}^{\infty} [-2(-k_1)\sqrt{Dx}] \operatorname{erfc} \frac{H-z}{2\sqrt{Dx}} \right] + \frac{2(-k_1)c}{D} \left[\frac{D}{(-k_1)^2} e^{h_1(H-z)} + Dx(-k_1)^2 \operatorname{erfc} \frac{H-z}{2\sqrt{Dx}} - h_1 \sqrt{Dx} \right] \\ - \frac{D}{(-k_1)^2} \sum_{n=0}^{\infty} [-2(-k_1)\sqrt{Dx}] \operatorname{erfc} \frac{H-z}{2\sqrt{Dx}} - \frac{D}{(-k_1)^2} e^{h_1(H-z)} + Dx(-k_1)^2 \operatorname{erfc} \frac{H-z}{2\sqrt{Dx}} - h_1 \sqrt{Dx} \left. + \frac{D}{(-k_1)^2} \sum_{n=0}^{\infty} [-2(-k_1)\sqrt{Dx}] \operatorname{erfc} \frac{H-z}{2\sqrt{Dx}} \right] \\ - 2C \left[\frac{2}{(-k_1)^2 \pi} e^{\frac{(H-z)^2}{4Dx}} - 1 - \frac{h_1(H-z)}{(-k_1)^2} \operatorname{erfc} \frac{H-z}{2\sqrt{Dx}} + \frac{1}{(-k_1)^2} e^{h_1(H-z)} + Dx(-k_1)^2 \operatorname{erfc} \frac{H-z}{2\sqrt{Dx}} - h_1 \sqrt{Dx} \right] - \frac{2}{-k_1} \left(\frac{Dx}{\pi} \right)^{\frac{1}{2}} e^{-\frac{(H-z)^2}{4Dx}} \\ + \frac{1-h_1(H-z)}{(-k_1)^2} \operatorname{erfc} \frac{H-z}{2\sqrt{Dx}} - \frac{1}{(-k_1)^2} e^{h_1(H-z)} + Dx(-k_1)^2 \operatorname{erfc} \frac{H-z}{2\sqrt{Dx}} - h_1 \sqrt{Dx} \left. \right] + \{b - h_1(\theta_a - \theta)\} \left[\frac{1}{-k_1} \operatorname{erfc} \frac{H-z}{2\sqrt{Dx}} \right. \\ - \frac{1}{-k_1} e^{h_1(H-z)} + Dx(-k_1)^2 \operatorname{erfc} \frac{H-z}{2\sqrt{Dx}} - h_1 \sqrt{Dx} \left. \right] - \frac{1}{-k_1} \operatorname{erfc} \frac{H-z}{2\sqrt{Dx}} + \frac{1}{-k_1} e^{h_1(H-z)} + Dx(-k_1)^2 \operatorname{erfc} \frac{H-z}{2\sqrt{Dx}} - h_1 \sqrt{Dx} \left. \right] + \dots \quad (7-5)$$

(iii) 表水面 ($z=0$) で、 $-\frac{\partial \theta}{\partial z} = \frac{g_1}{\rho c k_1} (-G_1 = \text{const})$ 、躍層面で、 $\frac{\partial \theta}{\partial z} = 0$

流入端 ($x=0$) で、 $\theta = \theta_0 e^{-\frac{z}{H}}$ のとき、同様に、

$$\theta = \theta_0 e^{\frac{z}{H}} + 2G_1 \sqrt{Dx} \sum_{n=0}^{\infty} (-1)^n \left[i \operatorname{erfc} \frac{2(n+1)H-z}{2\sqrt{Dx}} - i \operatorname{erfc} \frac{2nH+z}{2\sqrt{Dx}} \right] + G_1 \theta_0 \sqrt{Dx} \sum_{n=0}^{\infty} (-1)^n \left[e^{-\frac{1}{4}(2n+1)H-z} + Dx(-k_1)^2 \operatorname{erfc} \frac{(2n+1)H-z}{2\sqrt{Dx}} \right. \\ - e^{-\frac{1}{4}(2n+1)H-z} + Dx(-k_1)^2 \operatorname{erfc} \frac{2nH+z}{2\sqrt{Dx}} - h_1 \sqrt{Dx} \left. + e^{-\frac{1}{4}(2n+1)H-z} + Dx(-k_1)^2 \operatorname{erfc} \frac{(2n+1)H-z}{2\sqrt{Dx}} - e^{-\frac{1}{4}(2n+1)H-z} + Dx(-k_1)^2 \operatorname{erfc} \frac{(2n+1)H-z}{2\sqrt{Dx}} \right] \\ + \frac{G_1 \theta_0}{e^{\frac{z}{H}}} \sqrt{Dx} \sum_{n=0}^{\infty} (-1)^n \left[H \operatorname{erfc} \frac{2(n+1)H-z}{2\sqrt{Dx}} + H e^{-\frac{1}{4}(2n+1)H-z} + Dx(-k_1)^2 \operatorname{erfc} \frac{2(n+1)H-z}{2\sqrt{Dx}} + H \operatorname{erfc} \frac{2nH+z}{2\sqrt{Dx}} - H e^{-\frac{1}{4}(2n+1)H-z} + Dx(-k_1)^2 \operatorname{erfc} \frac{2nH+z}{2\sqrt{Dx}} \right] \\ + \frac{G_1 \theta_0}{e^{\frac{z}{H}}} \sqrt{Dx} \sum_{n=0}^{\infty} (-1)^n \left[H \operatorname{erfc} \frac{2(n+1)H-z}{2\sqrt{Dx}} - H e^{-\frac{1}{4}(2n+1)H-z} + Dx(-k_1)^2 \operatorname{erfc} \frac{2(n+1)H-z}{2\sqrt{Dx}} - H \operatorname{erfc} \frac{2nH+z}{2\sqrt{Dx}} + H e^{-\frac{1}{4}(2n+1)H-z} + Dx(-k_1)^2 \operatorname{erfc} \frac{2nH+z}{2\sqrt{Dx}} \right] \quad (7-6)$$

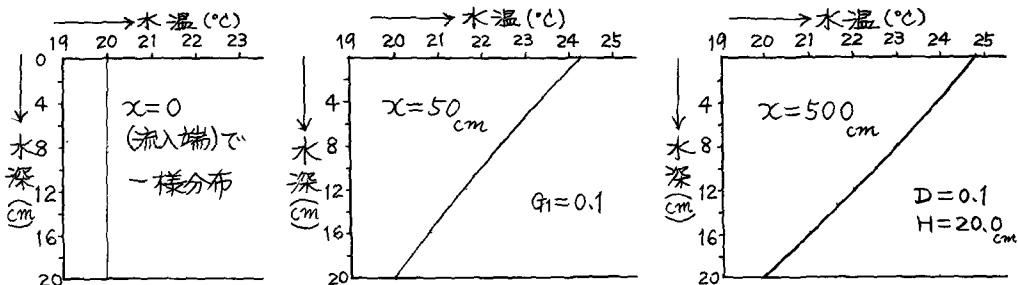


図-4 式(7-4)において $b=c=0$ の場合

(b) 变水層

上部躍層面 ($z=H_1$) で, $\frac{\partial \theta}{\partial z}=0$, 下部躍層面 ($z=H_2$) で, $\frac{\partial \theta}{\partial z}=0$

流入端 ($x=0$) で, $\theta=a+bz+cz^2$ のとき, $\frac{\partial \theta}{\partial z}=D\frac{\partial^2 \theta}{\partial z^2}$ の解は同様に,

$$\theta = a+bz+cz^2 + 2DCx - 2DC \sum_{n=0}^{\infty} (-1)^n \left[(x + \frac{(n(H_2-H_1)+H-z)^2}{2D}) \operatorname{erfc} \frac{n(H_2-H_1)+(z-H)}{2\sqrt{Dx}} - (n(H_2-H_1)+(z-H)) \left(\frac{x}{\pi D} \right)^{\frac{1}{2}} \frac{(n(H_2-H_1)+H-z)^2}{4Dx} \right] \\ + (x + \frac{(n(H_2-H_1)+(z-H))^2}{2\sqrt{Dx}}) \operatorname{erfc} \frac{n(H_2-H_1)+(z-H)}{2\sqrt{Dx}} - (n(H_2-H_1)+(z-H)) \left(\frac{x}{\pi D} \right)^{\frac{1}{2}} \frac{(n(H_2-H_1)+H-z)^2}{4Dx} \quad (7-7)$$

(c) 深木層

(i) 下部躍層面 ($z=H_2$) で, $\frac{\partial \theta}{\partial z}=0$, 池底面 ($z=H$) で, $-\frac{\partial \theta}{\partial z} = \frac{h_2}{\rho CK_2} (-G_2 = \text{const})$

流入端 ($x=0$) で, $\theta=a+bz+cz^2$ のとき, 同様に $\frac{\partial \theta}{\partial z}=D\frac{\partial^2 \theta}{\partial z^2}$ の解は,

$$\theta = a+bz+cz^2 + 2DCx - 2DC \sum_{n=0}^{\infty} (-1)^n \left[(x + \frac{(2n(H_1+H_2)-H_2+z)^2}{2D}) \operatorname{erfc} \frac{2n(H_1+H_2)+H_2+z}{2\sqrt{Dx}} - (2n(H_1+H_2)+H_2+z) \left(\frac{x}{\pi D} \right)^{\frac{1}{2}} \frac{(2n(H_1+H_2)+H_2-z)^2}{4Dx} \right. \\ \left. + (x + \frac{(2n+1)(H_1+H_2)+H_2-z)^2}{2D}) \operatorname{erfc} \frac{(2n+1)(H_1+H_2)+H_2-z}{2\sqrt{Dx}} - (2n+1)(H_1+H_2)+H_2-z \left(\frac{x}{\pi D} \right)^{\frac{1}{2}} \frac{(2n+1)(H_1+H_2)+H_2-z)^2}{4Dx} \right] \\ + 2(b-G_2+2CH)\sqrt{Dx} \sum_{n=0}^{\infty} (-1)^n \left[i\operatorname{erfc} \frac{(2n+1)(H_1+H_2)+H_2-z}{2\sqrt{Dx}} - i\operatorname{erfc} \frac{2n(H_1+H_2)+H_2-z}{2\sqrt{Dx}} \right] \quad (7-8)$$

(ii) 下部躍層面 ($z=H_2$) で, $\frac{\partial \theta}{\partial z}=0$, 池底面 ($z=H$) で, $-\frac{\partial \theta}{\partial z} = h_2(\theta-\theta_e)$

流入端 ($x=0$) で, $\theta=a+bz+cz^2$ のとき, $\frac{\partial \theta}{\partial z}=D\frac{\partial^2 \theta}{\partial z^2}$ の解は, 同様に,

$$\theta = a+bz+cz^2 + 2DCx - 2h_2 C \left[\frac{1}{(-k_2)^3} e^{k_2(H-H_2)+Dx k_2^2} \operatorname{erfc} \frac{H-H_2}{2\sqrt{Dx}} - \frac{1}{(-k_2)^3} \sum_{n=0}^{\infty} [-2h_2 \sqrt{Dx}]^n i \operatorname{erfc} \frac{H-H_2}{2\sqrt{Dx}} \right. \\ \left. - \frac{1}{-k_2} e^{k_2(2H+H_2-z)+Dx k_2^2} \operatorname{erfc} \frac{(2H+H_2-z)+h_2 \sqrt{Dx}}{2\sqrt{Dx}} \right] + \frac{1}{(-k_2)^3} \sum_{n=0}^{\infty} [-2h_2 \sqrt{Dx}]^n i \operatorname{erfc} \frac{2H+H_2-z}{2\sqrt{Dx}} - 2C \left[\frac{2}{k_2} \left(\frac{\pi}{\alpha} \right)^{\frac{1}{2}} \right] \frac{(H-H_2)}{4Dx} \\ - \frac{1+h_2(H-H_2)}{k_2} \operatorname{erfc} \frac{H-H_2}{2\sqrt{Dx}} + \frac{1}{k_2} e^{k_2(H-H_2)+Dx k_2^2} \operatorname{erfc} \frac{(H-H_2)+h_2 \sqrt{Dx}}{2\sqrt{Dx}} + \frac{2}{k_2} \left(\frac{Dx}{\pi} \right)^{\frac{1}{2}} \frac{(2H+H_2-z)^2}{4Dx} - \frac{1+h_2(2H+H_2-z)}{k_2} \operatorname{erfc} \frac{2H+H_2-z}{2\sqrt{Dx}} \\ + \frac{1}{k_2} e^{k_2(H-H_2-z)+Dx k_2^2} \operatorname{erfc} \frac{(2H+H_2-z)+h_2 \sqrt{Dx}}{2\sqrt{Dx}} - (b+2CH+h_2(bH+CH^2+a-\theta_e)) \left[\frac{1}{k_2} \operatorname{erfc} \frac{H-H_2}{2\sqrt{Dx}} - \frac{1}{k_2} e^{k_2(H-H_2)+Dx k_2^2} \operatorname{erfc} \frac{(H-H_2)+h_2 \sqrt{Dx}}{2\sqrt{Dx}} \right] \\ - \frac{1}{k_2} \operatorname{erfc} \frac{H+H_2-2H_2}{2\sqrt{Dx}} - \frac{1}{k_2} e^{k_2(H+H_2-2H_2)+Dx k_2^2} \operatorname{erfc} \frac{(H+H_2-2H_2)+h_2 \sqrt{Dx}}{2\sqrt{Dx}} - 2C \left[\frac{1}{(-k_2)^3} e^{k_2(H+H_2)+Dx k_2^2} \operatorname{erfc} \frac{H-H_2}{2\sqrt{Dx}} + h_2 \sqrt{Dx} \right] \\ - \frac{1}{(-k_2)^3} \sum_{n=0}^{\infty} [-2h_2 \sqrt{Dx}]^n i \operatorname{erfc} \frac{H-H_2}{2\sqrt{Dx}} - \frac{1}{(-k_2)^3} e^{k_2(H+H_2-2H_2)+Dx k_2^2} \operatorname{erfc} \frac{(H+H_2-2H_2)+h_2 \sqrt{Dx}}{2\sqrt{Dx}} + \frac{1}{(-k_2)^3} \sum_{n=0}^{\infty} [-2h_2 \sqrt{Dx}]^n i \operatorname{erfc} \frac{H+H_2-2H_2}{2\sqrt{Dx}} + \dots \quad (7-9)$$

(3) 2層状態の場合

表木層と深木層の2層が境界を接している場合を考え, 表木層と深木層の各物理量にsuffix 1, 2をつけ, 各層においてそれぞれ熱拡散方程式を立て, 次のような境界条件と初期条件で解けばよい。²⁾

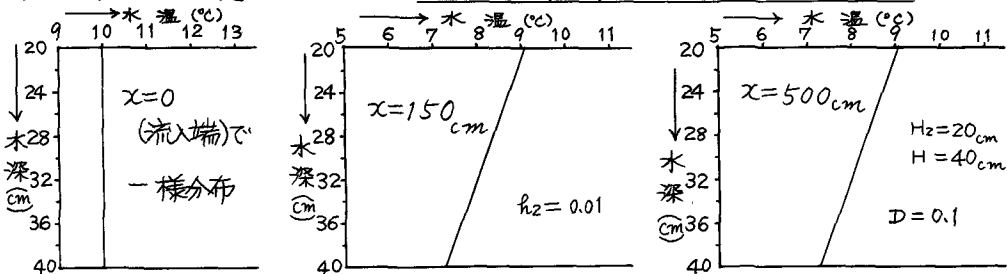
木表面 ($z=-H_1$) で, $-\frac{\partial \theta_1}{\partial z} = \frac{g_1}{\rho CK_1}$ ($G_1 = \text{const}$), 池底面 ($z=H_2$) で, $-\frac{\partial \theta_2}{\partial z} = \frac{g_2}{\rho CK_2}$ ($-G_2 = \text{const}$)

流入端 ($x=0$) で, $\theta_1=\theta_1$; $\theta_2=\theta_2$, さらに, 境界面の上下での連続条件として,

境界面 ($z=0$) で, $\theta_1=\theta_2$, かつ, $K_1 \frac{\partial \theta_1}{\partial z} = K_2 \frac{\partial \theta_2}{\partial z}$

この場合, $\frac{\partial \theta_1}{\partial z} = D_1 \frac{\partial^2 \theta_1}{\partial z^2}$ と $\frac{\partial \theta_2}{\partial z} = D_2 \frac{\partial^2 \theta_2}{\partial z^2}$ の解は, H_2 が H_1 に比べて著しく大きいときなどの特別な場合のみしか得ることができない。

図-5 式(7-8)において $b=c=0$ の場合



(4) 1次元化の簡略解

5. の解析モデルの適用例の図-2で示した最も簡略化された1次元的取り扱いの場合の(a)については、各層において、混合が十分に行なわれた結果と見なすことができ、鉛直方向に平均化された水質量が問題にされる場合であり、流下方向のみの1次元流動における水温変化の解析として取り扱い、拡散方程式を常微分化して、途中の変化が説明できる。

定常状態の2次元熱拡散方程式において、各層の水が十分な混合の結果ほぼ一様に熱せられた状態を考え、定数項としての内部熱発生項の形で原式を書く³⁾

$$U \frac{\partial \theta}{\partial x} + W \frac{\partial \theta}{\partial z} = \frac{\partial}{\partial x} (K_x \frac{\partial \theta}{\partial x}) + \frac{\partial}{\partial z} (K_z \frac{\partial \theta}{\partial z}) + \frac{Q}{\rho c h} \quad (7-10)$$

ここで、 Q は厚さの層に境界面を通して加えられた熱量であり、 ρ と c は水の密度と比熱である。次に、鉛直方向の移流項 $W \frac{\partial \theta}{\partial z}$ と拡散項 $K_z \frac{\partial^2 \theta}{\partial z^2}$ はまとめて新たな拡散項 $K_{Lz} \frac{\partial^2 \theta}{\partial z^2}$ で代表させ、さらに、鉛直方向と水平方向の拡散項の2項を併せて、新しい拡散項 $K_L \frac{\partial^2 \theta}{\partial z^2}$ の1つにまとめてしまうと、

$$U \frac{\partial \theta}{\partial x} = K_L \frac{\partial^2 \theta}{\partial z^2} + \frac{Q}{\rho c h} \quad (7-11) \Rightarrow \quad \frac{d^2 \theta}{dx^2} - \frac{U}{K_L} \frac{d \theta}{dx} = -\frac{1}{K_L} \frac{Q}{\rho c h} \quad (7-12)$$

ここで、 K_L は longitudinal diffusion coefficient であり、定数である。左の式を x についての常微分形におしたもののが右の式である。流速 U を定定と考え、 $x=0$ で $\theta=\theta_0$ 、 $x=L$ で $\theta=\theta_L$ の条件で上式を解くと次のようになる。

$$\theta = \frac{Q}{\rho c h} \cdot \frac{x}{U} - \frac{(1-e^{-\frac{Ux}{K_L}})}{(1-e^{-\frac{UL}{K_L}})} (\theta_0 - \theta_L + \frac{Q}{\rho c h} \cdot \frac{L}{U}) + \theta_0 \quad (7-13)$$

レが十分大きい場合、微小項が無視できて、次式のようになり、流入端($x=0$)での水温 θ_0 から流下距離 x に対する θ の関係がわかる。

$$\theta = \frac{Q}{\rho c h} \cdot \frac{x}{U} + \theta_0 \quad (7-14)$$

8. 模型実験

実際の貯水池においての観測は、種々の不便や制約が伴ない、いろいろな条件に対する必要な情報や測定値が不十分になりやすいので、図-6のように、長さ500 cm、幅60 cm、深さが最浅部の流入端で30 cm、最深部の流出端で130 cm、池底面勾配1/5の底部冷却式模型実験槽に、同幅

、同勾配、長さ100 cmの補助水路をつけて実験を行なった。この温度成層流の実験装置は、一側面が流動などの観察や写真撮影のためにガラス張りであり、他面は外部との熱の遮断のために断熱材を入れたステンレス張りである。鉛直方向に水温勾配を人工的につくり出して成層状態を生ぜしめるために、池底面からパイプ冷却する。実験は水温を制御しながら定常状態に達した後、水温・流速・気温などの測定を行なった。

また、この実験は室内で行なったため、風の影響ではなく、水表面上からの熱供給については、太陽からの直接の放射熱がなく、そのため、主に大気と水体との間の伝導と対流による熱交換になるので、実際の貯水池の場合の熱収支と比べて、その内容と量の点で異なっている。この点については、赤外線ランプなどの熱源の代用によって改良できるものと考えられる。

この実験装置で、流入水量・流入水温・水深・取水(放流)位置・気温水温差などの各種条件に対

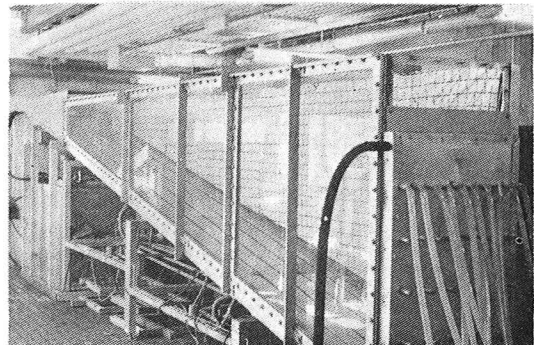
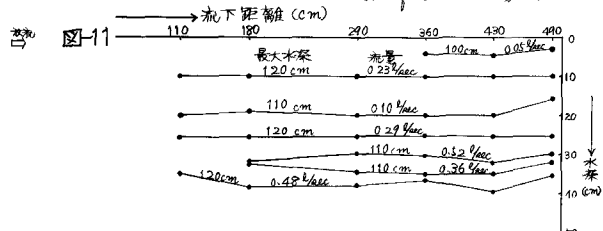
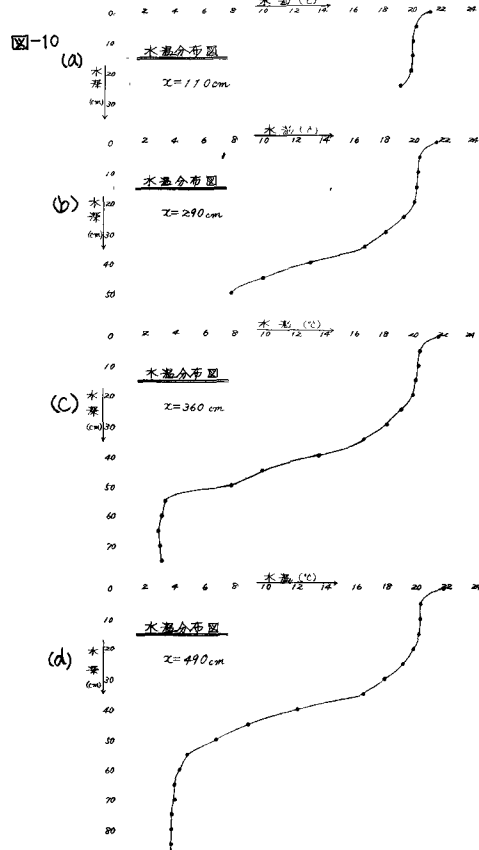
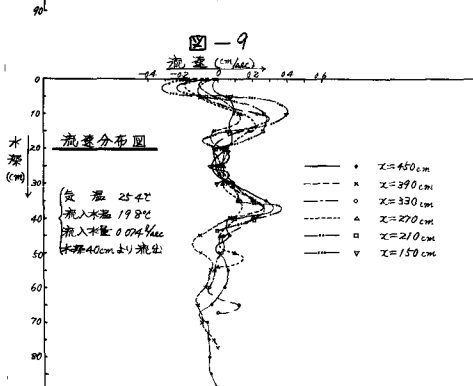
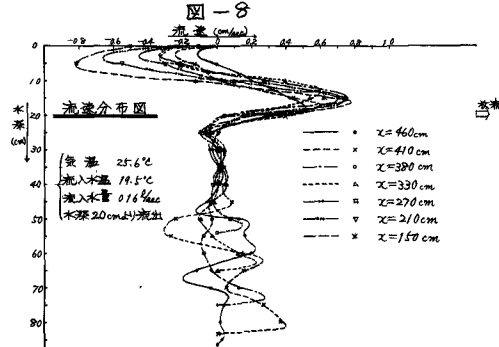
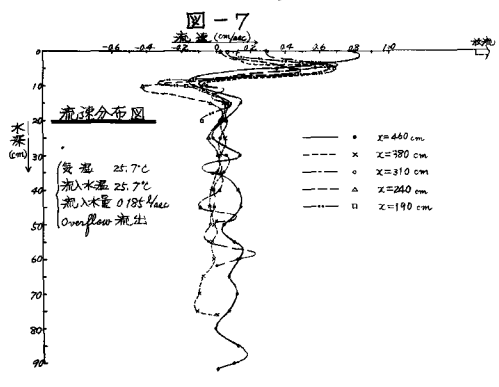


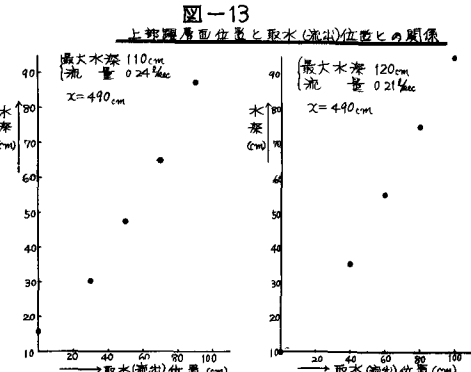
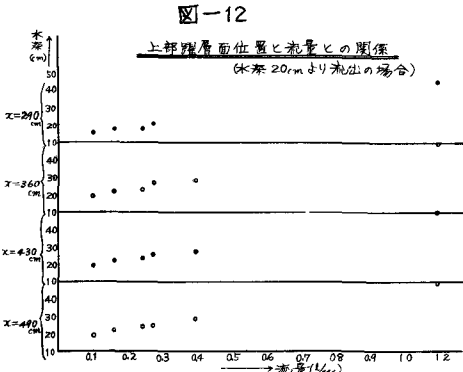
図-6 水質実験用貯水池模型

する流動と水温の変化を調べる実験を行なった。その結果の水温分布と流速分布(図-7～図-10)は、流動と水温変化の解析に対する実験値として使用するほか、これらから次のことが言える。

- (1) 流入水量の増加に対してリニヤーに躍層面が低下する。(図-12)
- (2) 取水(放流)位置の低下に対する躍層位置の低下も直線的である。(図-13)
- (3) すでに松原茂・奥田節夫両氏によって指摘された越流堰取水による取水口付近での躍層の上昇傾向が確認できた。(図-11)
- (4) 水深の増加に対して、深水層の増加が見られた。
- (5) 流下方向および鉛直方向の成層安定度と拡散係数の変化が求まった。

以上より明らかたように、躍層の位置は流動状態によって鉛直にその影響を受ける。





9. 相似律についての検討

貯水池のように流動を伴なう水質変化を取り扱う場合、模型実験の結果を実際現象に応用するためには、熱移動現象や物質移動現象の相似の他に、流動に関して水理学的相似の条件が必要である。すなわち、実物と模型との間に幾何学的相似が成立しているならば、自然水路での現象は一般に、乱流場での熱移動、物質移動とみられるから、それぞれ、 Nu 数と $Frou$ 数、および Sc 数と $Frou$ 数を一致させねばよい。しかしながら、貯水池のように、水平方向と鉛直方向の縮尺を同一にとったモデル実験で現象を再現することが困難な場合は、どうしても鉛直方向と水平方向の縮尺を異にした、歪んだ模型を使用せざるをえない。

さらに、この流動状態が成層流(密度流)であれば、それに即した取り扱いが必要である。それゆえ、密度流の内部境界面の発達段階、すなわち、成層状態によって、躍層面、または、内部境界面を $\frac{dy}{dx}=0$ の面であるとする定義を用いて、この状態が密度の鉛直分布を通して少くとも1点存在する場合と、存在しない場合の2つに分ける。前者においては、躍層面が2つ以上存在する多層の場合もあるが、ここでは最も popular で、重要である、主躍層が1つの2層流の場合を対象として考えてみる。

(1) 跳層が存在しない場合

この場合の流動は、鉛直方向によく混合されており、水質的にもほぼ一様に近い状態と考え、流下方向に水深が増加する開水路流れとして取り扱う。そして、流下方向に比較的長い水路区間における流れのマクロな挙動が問題になる。だから、模型実験でも、水路断面内の流れの局所的な現象よりも、その積分値、あるいは平均量の1次元的挙動を考えることに価値がある。

それゆえ、力学的相似律として、ゆるやかに一樣水路の平均流速に関する連続方程式と運動方程式とを、実物と模型の両方にて表現し、運動の基礎方程式が明確である場合の相似条件、すなわち、同一方程式のそれぞれの各対応項が比例関係にある必要から、歪み模型の縮尺を求める。連続方程式と運動方程式、さらに、これらから得られる条件式は次のとおりである。^{5), 6)}

$$\left\{ \frac{\partial A}{\partial x} + \frac{\partial}{\partial x}(A u) = 0 \right. \quad (9-1) \quad \left. \left\{ -i + \frac{\partial h}{\partial x} + \frac{n^2 u^2}{R^2} + \frac{\partial}{\partial x}\left(\frac{\alpha u^2}{2g}\right) + \frac{1}{g} \frac{\partial u}{\partial x} = 0 \right. \right. \quad (9-2)$$

$$\left\{ \frac{K_A}{K_x} = \frac{K_A \cdot K_v}{K_x} \right. \quad (9-3) \quad \left. \left\{ K_i = \frac{K_R}{K_x} = \frac{K_w^2 K_v^2}{K_R^2} = \frac{K_A \cdot K_v^2}{K_x} = \frac{K_v}{K_w} \right. \right. \quad (9-4)$$

ここで、 A : 流木断面積、 u : 断面平均流速、 i : 水路床勾配、 h : 水深、 n : 粗度係数、 R : 径深、 α : 補正係数、 K_A : 断面積 A の縮尺、など K は各添字の縮尺である。

$\alpha \neq 1$ より $K_\alpha = 1$ は満たされていると考え,

$$K_t = \frac{K_\alpha}{K_x} = \frac{K_x^2 \cdot K_v^2}{K_x^2} = \frac{K_v^2}{K_x} = \frac{K_v}{K_t} \quad (9-5)$$

上式の第2項と第4項より, $K_v = \sqrt{K_t}$ が導かれるが, これは $\sqrt{K_t} = 1$ となり, Froude の相似律であり, 第3項には摩擦の項を含んでいる。未知数が7個で方程式が4個ゆえ, 差し引き3個の縮尺が任意に選べる。また, 定流の場合は上の式(9-5)において最後の項が消え, 未知数と方程式がそれぞれ1個ずつ減るが, 結果としては変わらない。

(2) 距離層が存在する場合

この距離層を境界面として上下2層に分け, その2成層流の上層において, (1)の場合と同様に運動の基礎方程式を立てて力学的相似律を考える。その基礎方程式のうち, 連続方程式については(1)と同じであるが, もう1つの運動方程式は, 流れが重力と粘性力を driving force としている場合, 鉛直方向に平均した流下方向の流速を v_m として1次元的に考えると, 次のようになる。

$$\frac{\partial A}{\partial t} + \frac{\partial}{\partial x}(Av) = 0 \quad (9-6) \quad \frac{\partial v_m}{\partial t} + \frac{\partial}{\partial x}\left(\frac{\rho g v_m^2}{2f}\right) = -\frac{1}{\rho} \frac{\partial p}{\partial x} - \frac{C}{2L} v_m^2 \quad (9-7)$$

ここで, $\frac{\partial p}{\partial x} = \rho g \frac{\partial \zeta}{\partial x}$, p : 壓力, ζ : 水面上昇量, C : 摩擦係数 である。

この両式が実物と模型の両方で成立するとして, 両者の現象が力学的相似であるため条件として, (1)と同様に各対応項の比が等しいことから, (1)の場合と同様の添字つき縮尺記号を用いて,

$$\frac{K_x}{K_t} = \frac{K_\alpha \cdot K_v}{K_x} \quad (9-8) \quad \frac{K_v}{K_t} = \frac{K_\alpha \cdot K_v^2}{K_x} = \frac{K_\alpha}{K_x} \cdot \frac{K_v^2}{K_t} = \frac{K_\alpha}{K_x} \cdot K_t \quad (9-9)$$

(1)の場合と同様に, $K_\alpha = 1$ はほぼ満たされるとして, さらに, $K_t = K_\alpha$ とするとき,

$$K_t = \frac{K_x}{\sqrt{K_t}} \quad (9-10) \quad K_\alpha = \frac{K_t}{K_x} \quad (9-11)$$

この $K_t = \frac{K_x}{\sqrt{K_t}}$ は Froude の相似律であり, $K_\alpha = \frac{K_t}{K_x}$ は粗度の相似である。この場合, 上層に注目しているから, 粗度の相似としては, 内部境界面(距離層)の上下におけるせん断流れ(shear flow)によって生ずる内部摩擦を考え, その内部摩擦係数の相似としてヒューリックができる。この内部摩擦係数は内部境界面の傾きや, 流速, さらに水深などによって求めることができ, 淡水と塩水の場合の2成層流についてはすでに多くの人たちによって研究されており, 例えば, $C = -\left\{ \left(1 - \frac{U_1^2}{gH_1} \right) / \left(\frac{U_1^2}{gH_1} - \frac{U_2^2}{gH_2} \right) \right\}^{2/3}$ (ここで, U_1 は上層の流速, H_1 および H_2 は全水深と上層の水深であり, $\epsilon = \frac{U_1^2}{gH_1}$ である。) のように内部境界面でのせん断抵抗力をから求められる。⁸⁾ しかし, 温水と冷水の内部境界面での内部摩擦係数についても, 淡水と塩水の場合と原理的には同じであり, 同様の実験によってその値を求めることができるを考える。また, 3層以上に分かれた場合, すなわち, 距離層が2つ以上存在する場合でも, その最上層である表水層について上記の結果をそのまま利用できるものと考える。

10. 結言

貯水池内の流動と水質の関係が非常に密接であることを念頭に置き, 水質予知のための研究をスタートしたが, まず水質変化を取り扱う場合, 流動を切り離しては考えられないことから, それを支配する要因である成層状態に注目して, 流動と熱移動のみから定まる水温変化についてます"検討した。すなわち, 水温にかぎらず, 各種の水質に場所的不均一性をもたらす成層状態を中心とし, 水温変化に拡散モデルを適用し, 解析では, 実際の利用に便利な差分式により数值解を得る近似的解析と, 簡單場合の理論解を示した。さらに, 模型実験とその相似律を垂み模型について考えた。この問題は水温についてだけでもまだ不完全なアプローチしかできていないが, 今後は他の水質量も取り扱う。